

奥氮平通过抑制 NLRP3 炎症小体激活对抑郁症模型大鼠海马神经元的保护作用*

岳凌峰¹, 仲照希^{2△}, 马敬², 王宁³

1. 新乡医学院第二附属医院 精神四科(新乡 453002); 2. 新乡医学院第二附属医院 心境障碍科(新乡 453002);

3. 新乡医学院第二附属医院 精神三科(新乡 453002)

【摘要】目的 探究奥氮平(OLA)对抑郁症模型大鼠海马神经元的影响及作用机制。**方法** 将大鼠分为对照组、慢性不可预见性应激(CUS)组、OAL(0.5、1、2 mg/kg)组、si-Atg5及 OAL(2 mg/kg)+si-Atg5组,旷场实验及糖水偏好实验评估大鼠行为学表现,Tunnel检测细胞凋亡,ELISA检测白介素(IL)-1 β 、IL-18质量浓度,Western blot检测 cleaved Caspase-3, cleaved Caspase-9, 自噬相关蛋白 LC3、Beclin1、P62, 炎症小体 NLRP3 及 cleaved Caspase-1 表达水平。**结果** 0.5、1、2 mg/kg OAL 均可增加 CUS 大鼠自发活动总路程、糖水消耗量及偏好率,降低大鼠 IL-18 血清质量浓度,海马 CA3 区凋亡细胞百分比,cleaved Caspase-9、cleaved Caspase-1、NLRP3 表达; 0.5 mg/kg OAL 对 cleaved Caspase-3 表达及 IL-1 β 血清质量浓度无影响,1、2 mg/kg OAL 可降低 cleaved Caspase-3 表达及 IL-1 β 血清质量浓度。si-Atg5 可减小 CUS 大鼠自发活动总路程、糖水消耗量及偏好率,提高 cleaved Caspase-3、cleaved Caspase-9、cleaved Caspase-1、NLRP3 表达,并减弱 2 mg/kg OAL 产生的影响。同时,0.5、1、2 mg/kg OAL 均可提高大鼠海马 CA3 区 LC3 II/LC3 I 比值及 Beclin1 表达;0.5 mg/kg OAL 对 P62 表达无影响,1、2 mg/kg OAL 可降低 P62 表达。si-Atg5 可降低 LC3 II/LC3 I 比值及 Beclin1 的表达,并减弱 2 mg/kg OAL 产生的作用。**结论** OAL 可通过抑制 NLRP3 炎症小体激活对 CUS 大鼠海马神经元产生保护作用。

【关键词】 奥氮平 抑郁症 NLRP3 炎症小体

The Protective Effect of Olanzapine on the Hippocampal Neuron of Depression Model Rats via Inhibiting NLRP3 Inflammasome Activation YUE Ling-feng¹, ZHONG Zhao-xi^{2△}, MA Jing², WANG Ning³. 1. The Forth Department, the Second Affiliated Hospital of Xinxiang Medical University, Xinxiang 453002, China; 2. Department of Mood Disorder, the Second Affiliated Hospital of Xinxiang Medical University, Xinxiang 453002, China; 3. The Third Department, the Second Affiliated Hospital of Xinxiang Medical University, Xinxiang 453002, China

△ Corresponding author, E-mail: zxxzx9268@tom.com

【Abstract】Objective To determine the impact olanzapine (OLA) on the hippocampal neuron of model rats with depression. **Methods** Rats were divided into five groups: control, chronic unpredicted stress (CUS), OAL (0.5, 1, 2 mg/kg), si-Atg5, and OAL (2 mg/kg) + si-Atg5. Open field and sucrose preference tests were performed to evaluate rat behaviors. Cell apoptosis was detected with Tunnel. The concentrations of interleukin (IL)-1 β and IL-18 were determined by ELISA. The expressions of cleaved Caspase-3, cleaved Caspase-9, LC3, Beclin1, P62, NLRP3 and cleaved Caspase-1 were measured by Western blot. **Results** OAL (0.5, 1, 2 mg/kg) increased the total moving distance, sucrose consumption and preference rate of CUS rats, and decreased serum IL-18, cell apoptosis and the expressions of cleaved Caspase-9, cleaved Caspase-1 and NLRP3 in the CA3 region of hippocampus. Although OAL (1, 2 mg/kg) decreased the expression of cleaved Caspase-3 and serum IL-1 β , OAL (0.5 mg/kg) showed no detectable effects. Si-Atg5 decreased the total moving distance, sucrose consumption and preference rate of CUS rats, enhanced the expressions of cleaved Caspase-3, cleaved Caspase-9, cleaved Caspase-1 and NLRP3, and weakened the effect of OAL (2 mg/kg). OAL (0.5, 1, 2 mg/kg) also increased the LC3 II/LC3 I ratio and the expression of Beclin1 in the CA3 region of hippocampus. OAL (1, 2 mg/kg) reduced the expression of p62, but not when it was reduced to 0.5 mg/kg. Si-Atg5 reduced the LC3 II/LC3 I ratio and the expression of Beclin1, and weakened the function of OAL (2 mg/kg). **Conclusion** OAL can protect the hippocampal neuron of CUS rats via inhibiting NLRP3 inflammasome activation.

【Key words】 Olanzapine Depression NLRP3 inflammasome

抑郁症是常见的精神疾病,以情绪低落、快感缺失、长期失眠及认知障碍为主要临床表现,重度抑郁症患者往往具有自杀倾向^[1]。随着都市生活节奏的

* 河南省科技攻关项目(No. 182102310242)资助

△ 通信作者, E-mail: zxxzx9268@tom.com

加快,人们承受的压力日益增大,抑郁症发病率逐年增高。全球目前约有 3.5 亿人受到抑郁症的困扰,探索抑郁症的治疗方法成为医学界研究热点^[2]。奥氮平(OAL)是一种作用于多巴胺和 5-羟色胺受体的非典型抗精神病药,可通过拮抗多巴胺受体减少精神病患者的阳性症状,如幻觉、妄想、言语、思维及行为紊乱,通过拮抗 5-羟色胺受体减少精神病患者的阴性症状,如情绪低落、冷漠、快感缺失及注意力不足^[3]。同时,OAL 也是治疗双相抑郁症的主要药物之一^[4],其与氟西汀联合使用可显著地缓解双相抑郁症状^[5]。目前,OAL 在国内临床应用时间并不长,其对患者海马神经元产生的影响还有待深入研究。因此,本实验通过建立大鼠慢性不可预见性应激(CUS)模型,对 OAL 在海马神经元中的影响及作用机制进行深入探究。

1 材料与方法

1.1 实验动物和试剂

42 只 3 周龄 SPF 级 SD 大鼠购自河南远大生物制药有限公司,许可证号:SYXK(豫)2017-0014;OAL 购自美国 Eli Lilly;Tunnel 试剂盒及 BCA 试剂盒购自上海碧云天;白介素(IL)-1 β 及 IL-18 ELISA 试剂盒购自美国 Invitrogen;实验所用蛋白抗体均购自美国 Cell Signaling Technology;二抗均购自北京中杉金桥;si-Atg5 购自上海生工生物。

1.2 大鼠分组及处理

将 42 只 SD 大鼠分为对照, CUS、OAL (0.5、1、2 mg/kg)、si-Atg5 及 OAL (2 mg/kg) + si-Atg5 组,每组 6 只。除对照组以外,其余各组均建立大鼠 CUS 抑郁症模型,OAL 用药浓度^[6]及大鼠 CUS 抑郁症模型建立方法^[7]参考既往文献。通过旷场实验、糖水偏好实验检测造模情况。造模成功后,OAL(0.5、1、2 mg/kg)组分别灌胃给予 0.5、1、2 mg/kg OAL,si-Atg5 组用 si-Atg5 腺病毒转染大鼠,OAL (2 mg/kg) + si-Atg5 组用 si-Atg5 腺病毒转染大鼠并灌胃给予 2 mg/kg OAL,CUS 组则给予等量生理盐水,每日 1 次,持续给予 3 周后,收集大鼠外周血,处死大鼠后剥离大脑海马 CA3 区组织,石蜡包埋脑组织,用于后期检测。

1.3 旷场实验

造模前后将各组大鼠单独置于透明观察室,适应 10 min 后,记录其 5 min 内自发活动路程。观察后,每只大鼠用清洁剂清洗并干燥。

1.4 糖水偏好实验

将各组大鼠单独置于饲养笼中,进行预实验,第一日,笼中放置 2 瓶 1% 蔗糖溶液,第二日用自来水取代其中 1 瓶蔗糖溶液。适应后,断粮水供应 24 h,于上午 9 点进行正式实验。笼中分别放置 100 mL 自来水及蔗糖溶液各 1 瓶,1 h 后,记录蔗糖溶液及自来水消耗体积,糖水偏好率 = 糖水消耗量/(水消耗量 + 糖水消耗量) × 100%。

1.5 HE 染色

将脑海马区组织石蜡包埋切片,然后将切片脱蜡、水洗、苏木精液染色、水洗;再用 1% 盐酸酒精分化,水洗;0.6% 氨水返蓝,水洗;0.5% 伊红液染色,水洗;接着脱水,二甲苯透明;最后中性树胶封片,每组取 6 张切片,在 400 倍显微镜观察海马区组织损伤情况。

1.6 Tunnel 检测

将大鼠大脑海马组织石蜡切片脱蜡修复,内源性过氧化物酶作用 5 min 后, PBS 洗涤。滴加 Tunnel 检测液 37 ℃ 避光孵育 1 h 后, PBS 洗涤。利用 DAB 显色液避光显色,苏木精复染。暗室内观察切片,显微镜视野下,棕色为凋亡细胞,蓝色为正常细胞。每组取 6 张切片于 400 倍镜下观察。凋亡率(%) = 凋亡细胞数 / 细胞总数 × 100%。

1.7 ELISA 检测大鼠血清 IL-1 β 和 IL-18 质量浓度

利用 ELISA 试剂盒测定 IL-1 β 、IL-18 血清质量浓度,步骤参考试剂盒说明书。避光显色,利用酶标仪读取吸光度(A)值,根据标准样品曲线公式计算各样品 A 值对应的蛋白质量浓度。

1.8 Western blot 检测海马 CA3 区脑组织蛋白水平

RIPA 裂解海马 CA3 区脑组织,提取总蛋白。BCA 试剂盒将蛋白定量并调平。取蛋白 30 g,10% SDS-PAGE 将蛋白分离,湿转法将蛋白转移至 PVDF 膜,脱脂奶粉室温封闭 2 h,各蛋白对应一抗 4 ℃ 孵育过夜,二抗 37 ℃ 1 h,最后曝光显色,以 GAPDH 为内参,薄膜由 Bio-rad 凝胶 DocEZ 成像仪拍摄,利用 Image J 软件分析检测 Caspase-3、-9、NLRP3、LC3、Beclin1 和 P62 蛋白条带的灰度值与内参蛋白带的灰度值比值。

1.9 统计学方法

所有数据先进行正态分布和方差齐性分析,符合条件的选用单因素方差分析或 t 检验,不符合条件的选用秩和检验。 $P < 0.05$ 为差异有统计学意义。

2 结果

2.1 航场实验及糖水偏好实验结果

造模前各组大鼠自发活动总路程长度差异无统计学意义。造模后,与对照组比较,CUS 组、si-Atg5 组和 DAL+si-Atg5 组大鼠自发活动总路程长度、糖水消耗量及偏好率降低($P<0.01$),说明造模成功。

表 1 造模前后各组大鼠航场实验和糖水偏好实验结果($n=6$)

Table 1 Open field tests and post-intervention sucrose preference tests on rats ($n=6$)

Group	The total moving distance/cm		Sucrose preference rate/%		
	Before model	After model	Before model	After model	After drug
Control	336.4±45.6	489.7±78.2	74.9±2.3	75.0±4.3	75.2±6.9
CUS	328.6±58.3	125.3±54.4* *	74.8±3.2	45.7±6.5* *	45.8±9.6* *
OAL (0.5 mg/kg)	331.3±47.6	378.3±96.5#	75.1±2.2	45.8±5.3**	55.2±9.6*, #
OAL (1 mg/kg)	352.2±68.2	421.6±87.3#	74.9±2.4	45.6±6.8**	64.3±10.6#
OAL (2 mg/kg)	345.7±52.1	463.2±89.7#*	75.2±2.7	45.9±5.9**	74.9±9.6#, #
si-Atg5	324.1±66.5	88.6±18.9* *, #	74.8±3.4	45.8±4.9**	27.3±5.2***, #
OAL+si-Atg5	336.3±72.3	217.6±36.5* **, &, &	75.0±4.5	45.7±5.2**	55.8±6.9*, &, &

* $P<0.05$, ** $P<0.01$, vs. control group; # $P<0.05$, ## $P<0.01$, vs. CUS group; & $P<0.05$, && $P<0.01$, vs. OAL (2 mg/kg) group

2.2 OLA 对 CUS 大鼠海马神经细胞病理的影响

见图 1。与对照组比较,CUS 组大鼠海马 CA3 区发生明显的病理损伤,细胞核浓缩,细胞质减少,细胞核染色加深;与 CUS 组比较,大鼠经过不同质量浓度的 OAL 治疗后,细胞核逐渐舒展,细胞形态恢复正常,神经突出逐渐长出;并且随着药物剂量的

干预 3 周后,与 CUS 组比较,OAL (0.5 mg/kg)、(1 mg/kg) 及 (2 mg/kg) 组中大鼠自发活动总路程长度、糖水消耗量及偏好率升高($P<0.05$); si-Atg5 组大鼠自发活动总路程长度、糖水消耗量及偏好率降低($P<0.05$)。与 OAL (2 mg/kg) 组比较,OAL (2 mg/kg)+si-Atg5 组大鼠自发活动总路程长度、糖水消耗量及偏好率降低($P<0.05$)。见表 1。

增加,组织细胞形态越接近对照组; si-Atg5 组大鼠海马 CA3 区病理损伤加重,细胞核浓缩程度、细胞质减少程度、细胞核染色均加重;与 OAL (2 mg/kg) 组比较,OAL (2 mg/kg)+si-Atg5 组大鼠海马区细胞核浓缩程度、细胞质减少程度、细胞核染色均加重。

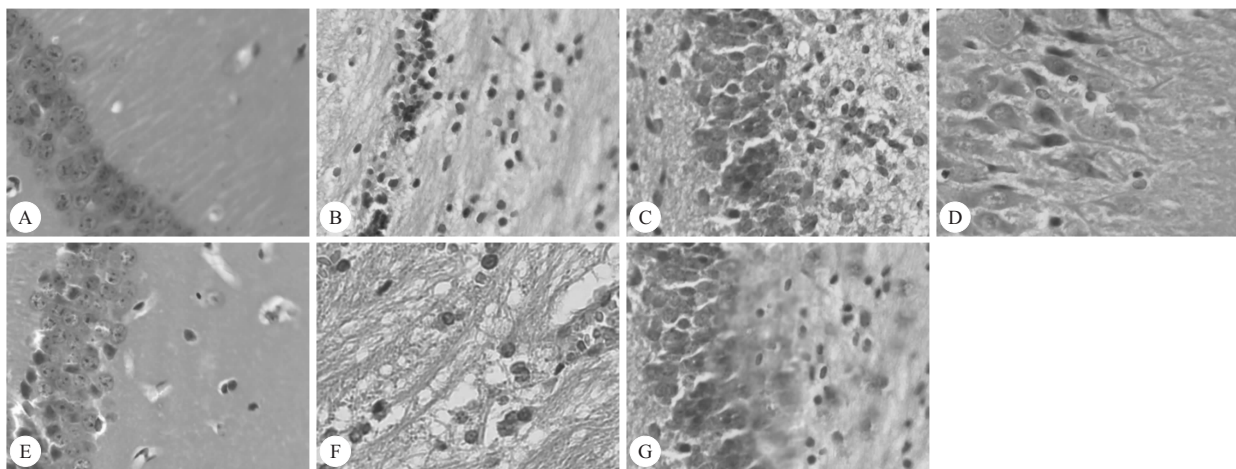


图 1 各组大鼠海马 CA3 区细胞损伤。HE $\times 400$

Fig 1 The injury of tissue cells in the CA3 region of hippocampus by group. HE $\times 400$

A: Control group; B: CUS group; C: OAL (0.5 mg/kg) group; D: OAL (1.0 mg/kg) group; E: OAL (2.0 mg/kg) group; F: si-Atg5 group; G: OAL (2 mg/kg)+si-Atg5 group

2.3 OLA 对 CUS 大鼠海马神经细胞凋亡的影响

见图 2~图 4。与对照组比较,CUS 组、OAL (0.5, 1 mg/kg) 组、si-Atg5 组及 OAL (2 mg/kg)+si-Atg5 组大鼠海马 CA3 区凋亡细胞百分比($P<$

0.01)、cleaved Caspase-3 及 cleaved Caspase-9 表达($P<0.01$)升高。与 CUS 组比较,OAL (0.5 mg/kg)、(1 mg/kg) 及 (2 mg/kg) 组中凋亡细胞百分比降低($P<0.01$); OAL (0.5 mg/kg) 组 cleaved

Caspase-3 表达无明显变化, cleaved Caspase-9 表达降低($P < 0.05$); OAL (1 mg/kg) 及 (2 mg/kg) 组中 cleaved Caspase-3、cleaved Caspase-9 表达均降低 ($P < 0.05, P < 0.01$); si-Atg5 组凋亡细胞百分比升高 ($P < 0.01$), cleaved Caspase-3、cleaved Caspase-9 表达均升高 ($P < 0.01$)。与 OAL (2 mg/kg) 组比较, OAL (2 mg/kg) + si-Atg5 组凋亡细胞百分比升高 ($P < 0.01$), cleaved Caspase-3、cleaved Caspase-9 表达均升高 ($P < 0.01$)。

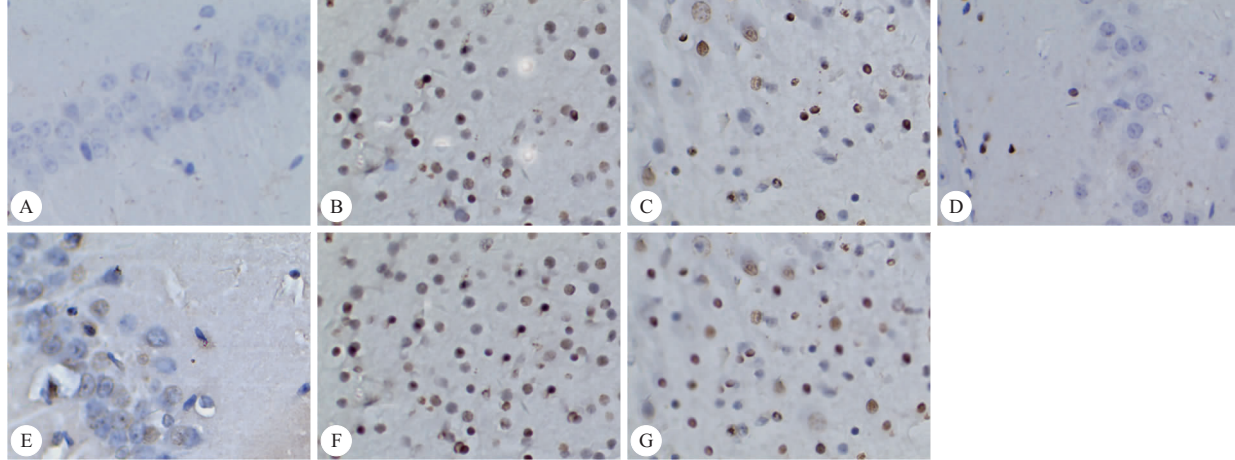


图 2 各组大鼠海马 CA3 区凋亡细胞。Tunnel 染色 $\times 400$

Fig 2 Cell apoptosis in the CA3 region of hippocampus by group. Tunnel staining $\times 400$

A-G denote the same as fig 1

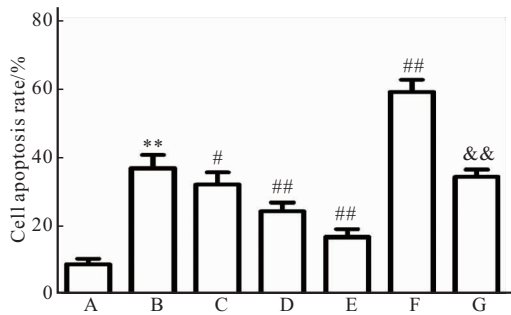


图 3 各组大鼠海马 CA3 区凋亡细胞百分比

Fig 3 The apoptosis rate of cells in the CA3 region of hippocampus by group

A-G denote the same as fig 1. ** $P < 0.01$, vs. control group;
$P < 0.05$, ## $P < 0.01$, vs. CUS group; && $P < 0.01$, vs.
OAL (2 mg/kg) group

(1 mg/kg) 及 (2 mg/kg) 组中 IL-1 β 质量浓度 ($P < 0.05, P < 0.01$)、cleaved Caspase-1、NLRP3 表达 ($P < 0.05, P < 0.01$) 均降低; si-Atg5 组大鼠 IL-1 β 、IL-18 血清质量浓度 ($P < 0.01$)、海马 CA 3 区

2.4 OLA 对 CUS 大鼠神经细胞炎症反应的影响

见图 5、图 6。与对照组比较, CUS 组、OAL (0.5、1 mg/kg) 组、si-Atg5 组及 OAL (2 mg/kg) + si-Atg5 组大鼠 IL-1 β 、IL-18 血清质量浓度、海马 CA3 区 cleaved Caspase-1、NLRP3 表达升高 ($P < 0.01$)。与 CUS 组比较, OAL (0.5 mg/kg) 组 IL-1 β 质量浓度差异无统计学意义, OAL (1 mg/kg) 及 OAL (2 mg/kg) 组中 IL-1 β 质量浓度降低 ($P < 0.01$); 同时, OAL (0.5 mg/kg)、

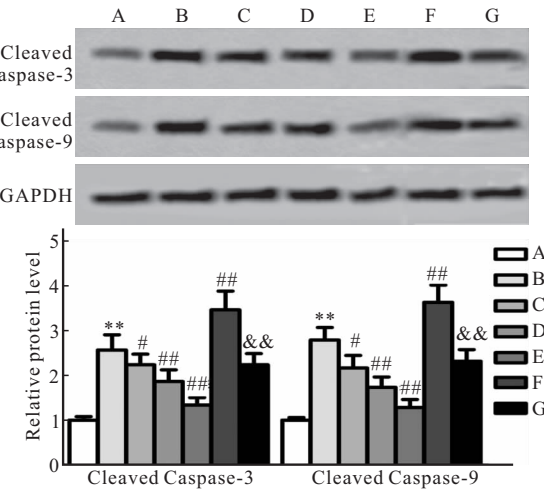


图 4 各组中 cleaved Caspase-3、cleaved Caspase-9 的表达

Fig 4 The expressions of cleaved Caspase-3 and cleaved Caspase-9 in the CA3 region of hippocampus by group

A-G denote the same as fig 1. * $P < 0.05$, ** $P < 0.01$, vs. control group; # $P < 0.05$, ## $P < 0.01$, vs. CUS group; & $P < 0.05$, && $P < 0.01$, vs. OAL (2 mg/kg) group

cleaved Caspase-1、NLRP3 表达($P < 0.01$)升高。与 OAL (2 mg/kg)组比较,OAL (2 mg/kg)+si-Atg5 组大鼠 IL-1 β 、IL-18 血清质量浓度($P < 0.01$)、海马 CA3 区 cleaved Caspase-1、NLRP3 表达($P < 0.01$)升高。

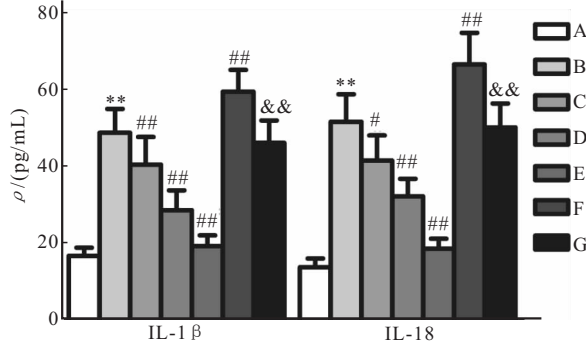


图 5 各组大鼠血清 IL-1 β 、IL-18 质量浓度

Fig 5 Serum concentrations of IL-1 β and IL-18 by group

A-G denote the same as fig 1. * * $P < 0.01$, vs. control group;
$P < 0.05$, ## $P < 0.01$, vs. CUS group; &. & $P < 0.01$, vs.
OAL (2 mg/kg) group

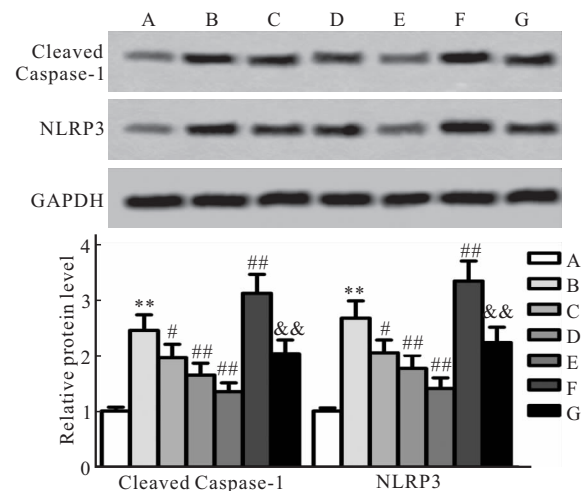


图 6 各组大鼠海马 CA3 区组织 cleaved Caspase-1、NLRP3 的表达

Fig 6 The expressions of cleaved Caspase-1 and NLRP3 in the CA3 region of hippocampus by group

A-G denote the same as fig 1. * * $P < 0.01$, vs. control group;
$P < 0.05$, ## $P < 0.01$, vs. CUS group; &. & $P < 0.01$, vs.
OAL (2 mg/kg) group

2.5 OLA 对 CUS 大鼠神经细胞自噬的影响

见图 7。与对照组比较,CUS 组大鼠海马 CA3 区 LC3 II/LC3 I 比值、Beclin1 表达降低,P62 表达升高($P < 0.01$)。与 CUS 组比较,OAL (0.5 mg/kg)、(1 mg/kg) 及(2 mg/kg)组中 LC3 II/LC3 I 比值、Beclin1 表达升高($P < 0.01$);OAL (0.5 mg/

kg)组 P62 表达差异无统计学意义,(1 mg/kg)及(2 mg/kg)组中 P62 表达均降低($P < 0.01$); si-Atg5 组 LC3 II/LC3 I 比值、Beclin1 表达降低($P < 0.05$, $P < 0.01$), P62 表达升高($P < 0.01$)。与 OAL (2 mg/kg)组比较,OAL (2 mg/kg)+si-Atg5 组 LC3 II/LC3 I 比值、Beclin1 表达降低($P < 0.01$), P62 表达升高($P < 0.01$)。

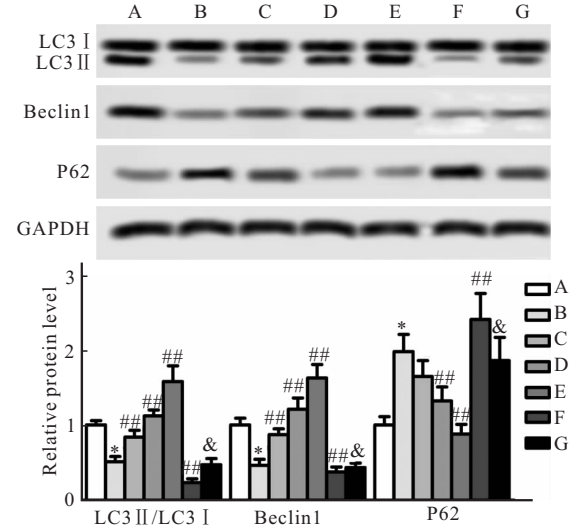


图 7 各组中 LC3、Beclin1、P62 的表达

Fig 7 The expressions of LC3, Beclin1 and P62 in the CA3 region of hippocampus by group

A-G denote the same as fig 1. * $P < 0.01$, vs. control group;
$P < 0.01$, vs. CUS group; &. & $P < 0.01$, vs. OAL (2 mg/kg)
group

3 讨论

抑郁症可引起患者精神沉郁、快感缺失,改善患者精神状态是抑郁症治疗药物的首要目的^[8]。研究发现,脑组织中 5-羟色胺水平降低是引起抑郁症发生的重要原因^[9],抗抑郁药 OAL 是多巴胺/5-羟色胺受体双摄取抑制剂,主要用于治疗双相抑郁症。有报道表明,OAL 联合 5-羟色胺再摄取抑制剂可显著提高神经元细胞培养上清中 5-羟色胺的浓度^[10]。本研究发现,0.5、1、2 mg/kg OAL 均可显著提高 CUS 大鼠自发活动总路程、糖水消耗量及偏好率,且随 OAL 浓度的增加,其对 CUS 大鼠的作用愈明显。通过对大鼠行为学表现评估表明,OAL 可显著改善 CUS 大鼠的精神状态。

有研究发现,在抑郁症患者脑组织中,海马区神经元细胞发生过度凋亡^[11]。海马 CA3 区是介导应激反应的主要脑区,也是调控人类情绪、记忆及内分泌的重要部位,抑制海马神经元细胞凋亡已成为有

效治疗抑郁症的目标^[12]。研究表明, OAL 对神经元细胞具有显著保护作用, 可显著减弱血清戒断诱导的神经元细胞凋亡^[13], 降低氧化应激条件下神经元细胞的凋亡水平^[14]。在本研究中也发现 1、2 mg/kg OAL 均可显著降低大鼠海马 CA3 区凋亡细胞百分比, cleaved Caspase-3、cleaved Caspase-9 及 cleaved Caspase-1 的表达。cleaved Caspase-3、cleaved Caspase-9 及 cleaved Caspase-1 均属于 Caspase 蛋白水解酶家族, 凋亡信号可通过触发 Caspase 级联反应完成细胞凋亡程序^[15]。

炎症反应可显著诱导抑郁症的发生, 同时, 抑郁症可显著引起脑组织炎性浸润^[16]。因此, 抑制机体炎症反应是阻碍抑郁症发生发展的有效手段。研究发现, 在神经退行性疾病多系统萎缩中, OAL 可显著抑制模型小鼠中核因子- κ B (NF- κ B) 的核易位, 降低炎症因子 IL-1 β 的表达水平^[17]; 在应激模型小鼠中, OAL 可显著降低小鼠 IL-1 β 和 IL-6 血清浓度^[18]。在本研究中, 1、2 mg/kg OAL 可显著降低 CUS 大鼠 IL-18 及 IL-1 β 血清浓度, 同时, 0.5、1、2 mg/kg OAL 可显著抑制海马 CA3 区 NLRP3 炎症小体的表达。NLRP3 炎症小体是炎症反应的关键核心, 能招募并活化 Caspase-1, 促进炎症因子 IL-1 β 和 IL-18 成熟, 可作为各种炎症疾病的治疗靶点^[19]。NLRP3 炎症小体过度激活还可诱导神经元细胞凋亡的发生, 抑制 NLRP3 炎症小体活化可显著减轻 CUS 模型小鼠抑郁样行为^[20]。本实验结果提示, OAL 可通过阻碍 NLRP3 炎症小体激活减轻 CUS 大鼠的炎症反应。

研究表明, 自噬对抑郁症有正向调节作用, 如抗抑郁药阿米替林及西酞普兰可提高神经元自噬水平, 显著改善模型大鼠抑郁症状^[21]; 锂可通过诱导自噬显著减少病理蛋白的表达水平^[22]。本研究中, 0.5、1、2 mg/kg OAL 均可提高大鼠海马 CA3 区 LC3 II/LC3 I 比值及 Beclin1 表达, 1、2 mg/kg OAL 可降低 P62 表达。Beclin1 是促自噬蛋白, 可诱导自噬相关蛋白定位于自噬体膜上, P62 是自噬特异性底物, 在自噬发生过程中被不断降解, LC3 II 和 LC3 I 是 LC3 的不同表现形式, LC3 I 转变成 LC3 II 标志着自噬的形成^[23]。本实验结果表明, OAL 可显著提高 CUS 大鼠海马 CA3 区神经元细胞自噬水平。

据报道, 自噬与 NLRP3 炎症小体密切相关, 自噬水平的升高可显著抑制 NLRP3 炎症小体的激活^[24], NLRP3 炎症小体过度活化可引起自噬水平

显著降低^[25]。Atg5 是重要的自噬相关介质, 沉默 Atg5 可诱发 NLRP3 炎症小体过度活化^[21]。本研究利用 si-Atg5 诱导 NLRP3 炎症小体过度激活发现, CUS 大鼠海马 CA3 区 LC3 II/LC3 I 比值及 Beclin1 表达降低, cleaved Caspase-1、cleaved Caspase-3、cleaved Caspase-9 表达升高, CUS 大鼠自发活动总路程、糖水消耗量及偏好率显著减小。同时, 2 mg/kg OAL 对 CUS 大鼠产生的影响被 si-Atg5 显著减弱。实验结果表明, NLRP3 炎症小体过度激活可显著降低 CUS 大鼠海马 CA3 区神经元自噬水平, 提高炎症反应及细胞凋亡水平, 加剧 CUS 大鼠抑郁症状, 并减弱 OAL 产生的作用。虽然自噬与凋亡在代谢途径和形态学方面有着显著区别, 但是他们发挥作用的信号通路却有着交互作用。此外也有研究报道, 喜树碱可以通过促进 NSCLC 自噬而阻止细胞发生程序性死亡^[26]。

综上所述, OAL 可阻碍 NLRP3 炎症小体激活, 显著减轻 CUS 大鼠炎症反应, 抑制大鼠海马 CA3 区神经元细胞凋亡, 提高神经元细胞自噬水平, 改善大鼠的精神状态。同时, NLRP3 炎症小体过度激活可显著降低 CUS 大鼠海马 CA3 区神经元自噬水平, 提高炎症反应及细胞凋亡水平, 加剧 CUS 大鼠抑郁症状, 并减弱 OAL 产生的作用。提示 OAL 可通过抑制 NLRP3 炎症小体激活对抑郁症模型大鼠海马神经元产生保护作用, 为 OAL 临床应用提供理论依据。

参 考 文 献

- [1] SONG W, LI H, GUO T, et al. Effect of affective reward on cognitive event-related potentials and its relationship with psychological pain and suicide risk among patients with major depressive disorder. *Suicide Life Threat Behav*, 2018 Nov 2 [2018-12-19]. <https://doi.org/10.1111/sltb.12524>.
- [2] SOLEM S, HAGEN R, WANG C E, et al. Metacognitions and mindful attention awareness in depression: a comparison of currently depressed, previously depressed and never depressed individuals. *Clin Psychol Psychother*, 2017, 24(1): 94-102.
- [3] DAVIES S J C, MULSANT B H, FLINT A J, et al. SSRI-antipsychotic combination in psychotic depression: Sertraline pharmacokinetics in the presence of olanzapine, a brief report from the STOP-PD study. *Hum Psychopharmacol*, 2016, 31(3): 252-255.
- [4] CITROME L. Treatment of bipolar depression: making sensible decisions. *CNS Spectr*, 2014, 19 Suppl 1: 4-11.
- [5] TOHEN M, VIETA E, CALABRESE J, et al. Efficacy of olanzapine and olanzapine-fluoxetine combination in the

- treatment of bipolar I depression. *Arch Gen Psychiatry*, 2003, 60(11):1079-1088.
- [6] NINAN I, KULKARNI S K. Preferential inhibition of dizocilpine-induced hyperlocomotion by olanzapine. *Eur J Pharmacol*, 1999, 368(1):1-7.
- [7] BANERJEE R, HAZRA S, GHOSH A K, et al. Chronic administration of bacopa monniera increases BDNF protein and mRNA expressions: a study in chronic unpredictable stress induced animal model of depression. *Psychiatry Investig*, 2014, 11(3):297-306.
- [8] WILLIAMS L J, PASCO J A, JACKSON H, et al. Depression as a risk factor for fracture in women: a 10 year longitudinal study. *J Affect Disord*, 2016, 192:34-40.
- [9] CHHIBBER A, WOODY S K, KARIM RUMI M A, et al. Estrogen receptor beta deficiency impairs BDNF-5-HT2A signaling in the hippocampus of female brain: a possible mechanism for menopausal depression. *Psychoneuroendocrinology*, 2017, 82:107-116.
- [10] ASAOKA N, NAGAYASU K, NISHITANI N, et al. Olanzapine augments the effect of selective serotonin reuptake inhibitors by suppressing GABAergic inhibition via antagonism of 5-HT (6) receptors in the dorsal raphe nucleus. *Neuropharmacology*, 2015, 95:261-268.
- [11] QIN T, FANG F, SONG M, et al. Umbelliferone reverses depression-like behavior in chronic unpredictable mild stress-induced rats by attenuating neuronal apoptosis via regulating ROCK/Akt pathway. *Behav Brain Res*, 2017, 317:147-156.
- [12] LIU W X, WANG J, XIE Z M, et al. Regulation of glutamate transporter 1 via BDNF-TrkB signaling plays a role in the anti-apoptotic and antidepressant effects of ketamine in chronic unpredictable stress model of depression. *Psychopharmacology*, 2016, 233(3):405-415.
- [13] KIM N R, PARK S W, LEE J G, et al. Protective effects of olanzapine and haloperidol on serum withdrawal-induced apoptosis in SH-SY5Y cells. *Prog Neuropsychopharmacol Biol Psychiatry*, 2008, 32(3):633-642.
- [14] WANG H, XU H, DYCK L E, et al. Olanzapine and quetiapine protect PC12 cells from beta-amyloid peptide(25-35)-induced oxidative stress and the ensuing apoptosis. *J Neurosci Res*, 2005, 81(4):572-580.
- [15] BELMOKHTAR C A, HILLION J, SEGALBENDI-RDJIAN E. Staurosporine induces apoptosis through both caspase-dependent and caspase-independent mechanisms. *Oncogene*, 2001, 20(26):3354-3362.
- [16] KIECOLT-GLASER J K, DERRY H M, FAGUNDES C P. Inflammation: depression fans the flames and feasts on the heat. *Am J Psychiatry*, 2015, 172(11):1075-1091.
- [17] VALERA E, UBHI K, MANTE M, et al. Antidepressants reduce neuroinflammatory responses and astroglial alpha-synuclein accumulation in a transgenic mouse model of multiple system atrophy. *Glia*, 2014, 62(2):317-337.
- [18] THOMAS J, KHANAM R, VOHORA D. Activation of indoleamine 2, 3-dioxygenase pathway by olanzapine augments antidepressant effects of venlafaxine in mice. *Psychiatry Res*, 2017, 258:444-448.
- [19] ZHONG Z, SANCHEZ-LOPEZ E, KARIN M. Autophagy, NLRP3 inflammasome and auto-inflammatory/immune diseases. *Clin Exp Rheumatol*, 2016, 34 (4 Suppl 98):12-16.
- [20] DU R H, TAN J, SUN X Y, et al. Fluoxetine inhibits NLRP3 inflammasome activation: implication in depression. *Int J Neuropsychopharmacol*, 2016, 19(9). pii: pyw037 [2018-10-13]. doi:10.1093/ijnp/pyw037. print2016 sep.
- [21] ALCOCER-GOMEZ E, CASAS-BARQUERO N, WILLIAMS M R, et al. Antidepressants induce autophagy dependent-NLRP3-inflammasome inhibition in major depressive disorder. *Pharmacol Res*, 2017, 121:114-121.
- [22] HEISEKE A, AGUIB Y, RIEMER C, et al. Lithium induces clearance of protease resistant prion protein in prion-infected cells by induction of autophagy. *J Neurochem*, 2009, 109(1):25-34.
- [23] KWON D H, KIM L. pH-dependent regulation of SQSTM1/p62 during autophagy. *Autophagy*, 2019, 15(1):180-181.
- [24] SHEN L, YANG Y, OU T, et al. Dietary PUFAs attenuate NLRP3 inflammasome activation via enhancing macrophage autophagy. *J Lipid Res*, 2017, 58(9):1808-1821.
- [25] DAI J, ZHANG X, LI L, et al. Autophagy inhibition contributes to ROS-producing NLRP3-dependent inflammasome activation and cytokine secretion in high glucose-induced macrophages. *Cell Physiol Biochem*, 2017, 43 (1):247-256.
- [26] CHIU Y H, HSU S H, HSU H W, et al. Human non-small cell lung cancer cells can be sensitized to camptothecin by modulating autophagy. *Int J Oncol*, 2018, 53(5):1967-1979.

(2019-02-19 收稿, 2019-05-29 修回)

编辑 汤 清